

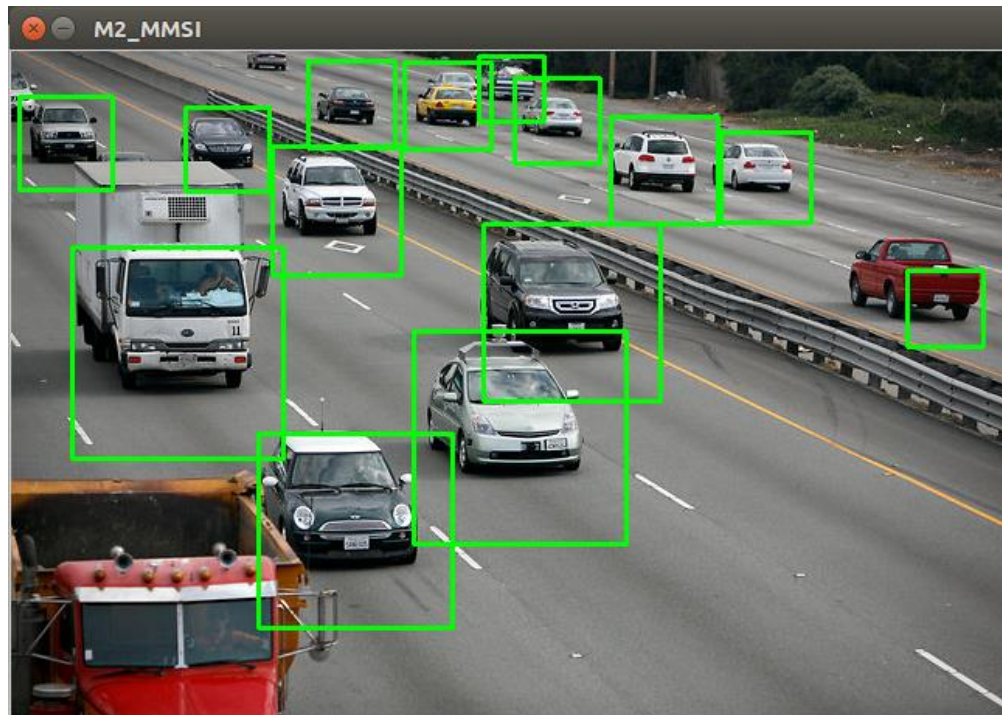


Réseaux de Neurones et Traitement d'Images en Temps Réel

Brahim Yahiaoui
byahiaoui@nxyad.net

Présentation du cours

- Introduction et prise en main de OpenCV
- Les réseaux de neurones dans l'image
- Traitements des signaux en temps réel





Les réseaux de neurones dans l'image



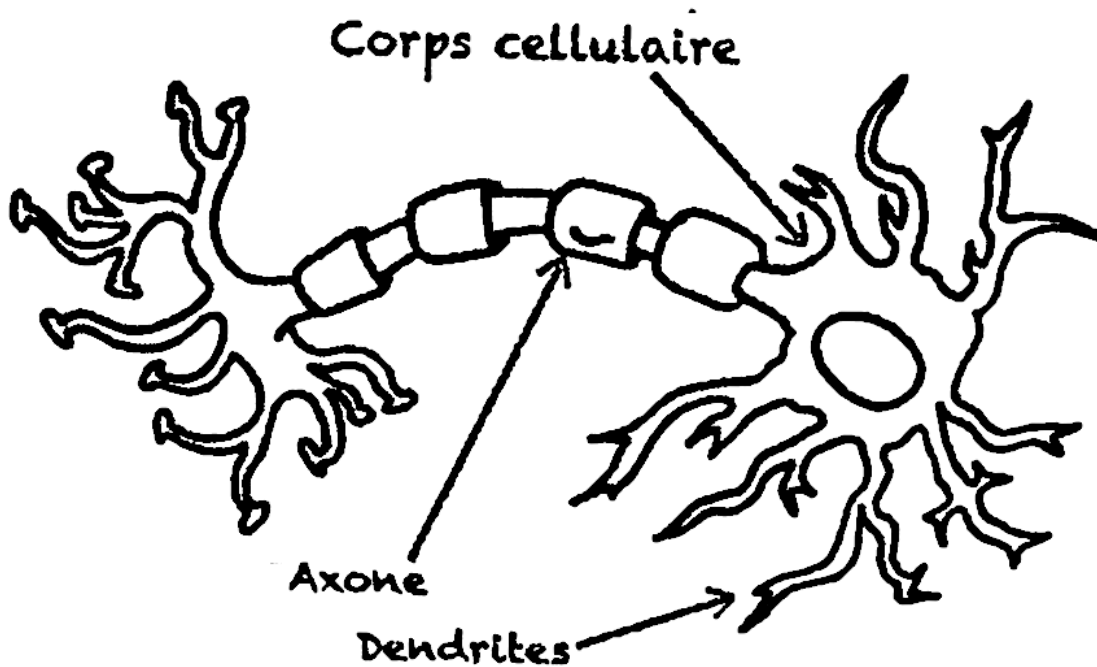
Introduction aux réseaux de neurones

Les réseaux de neurones

- Méthode inspirée du fonctionnement des neurones biologiques
- Utilisés pour élaborer des algorithmes capables d'apprendre
- Domaines d'application :
 - Reconnaissance optique de caractères (OCR)
 - Biologie : Classifications d'espèces animales
 - Economie : Classification d'entreprises et prédiction d'échec
 - Réseaux sociaux : Analyse sémantique de phrases sur internet pour la publicité ciblée ou la sécurité
 - Vision robotique : Détection d'obstacles et étiquetage

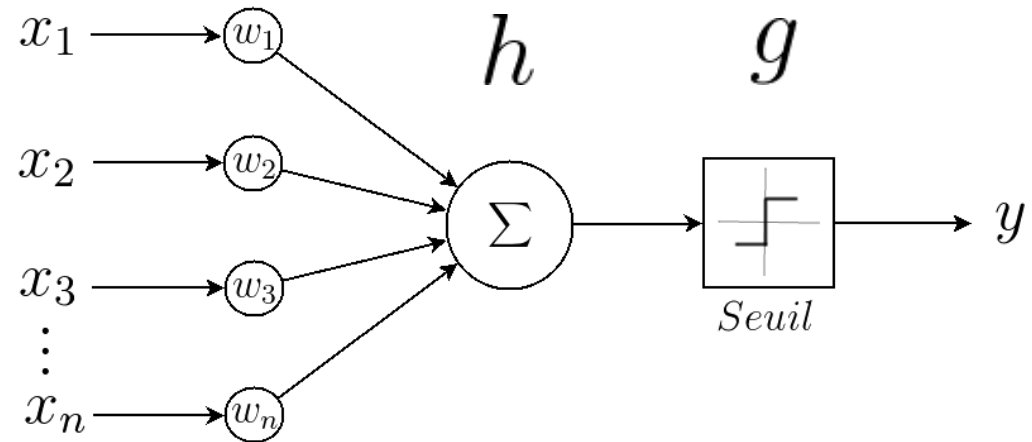
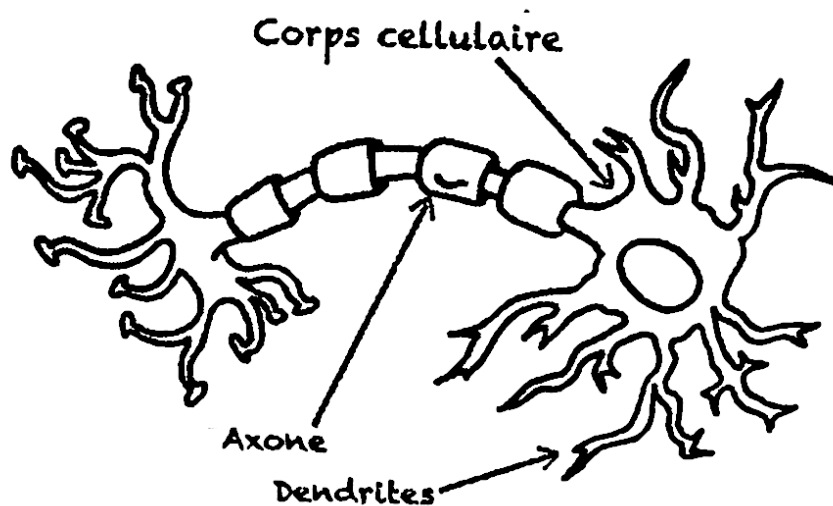
Modèle du neurone formel

- Modélisation par McCulloch et Pitts (1943) d'un neurone



Modèle du neurone formel

- Modélisation **mathématique** par McCulloch et Pitts (1943) d'un neurone **par un perceptron dit simple**



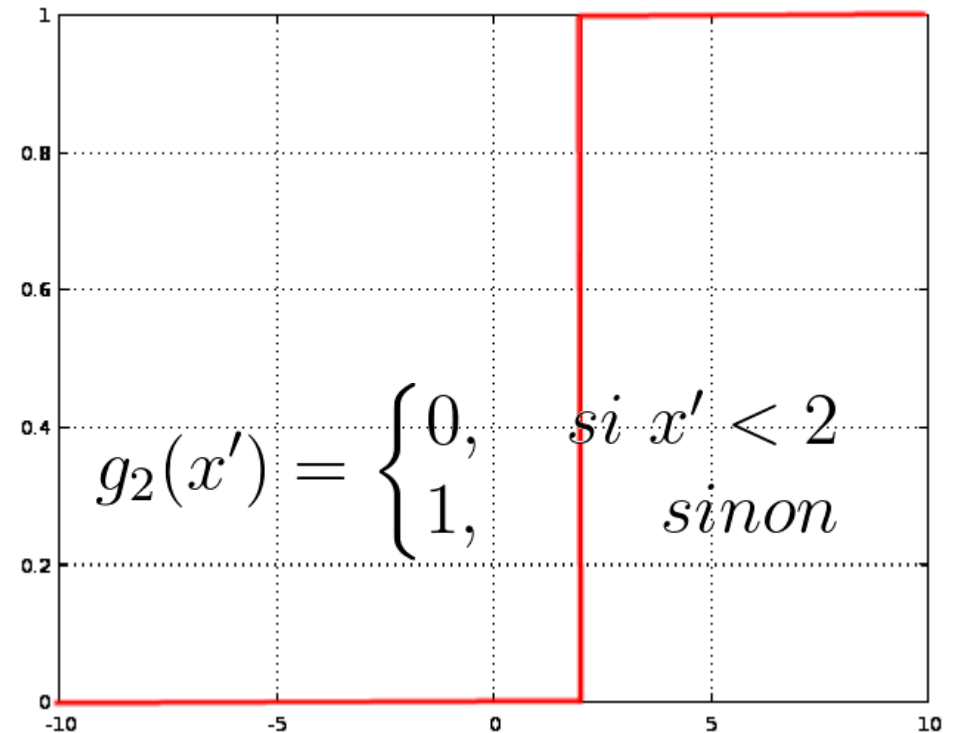
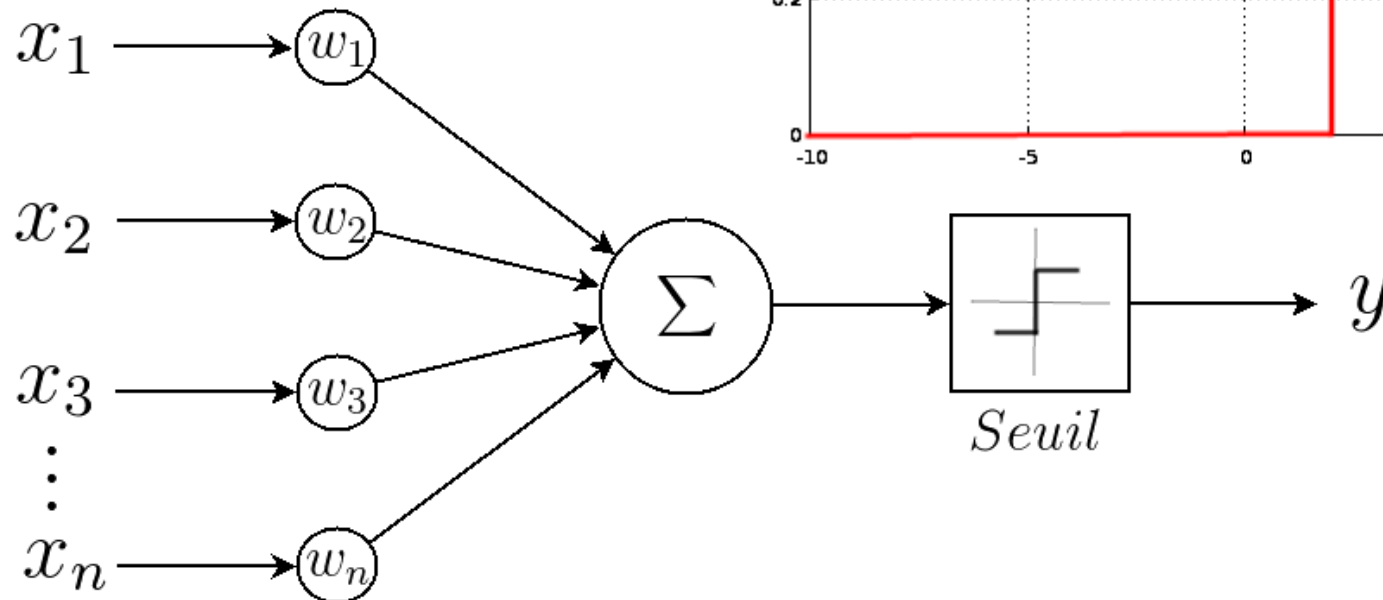
$$y = g(h(X, W)) = g \left(\sum_{i=1}^n w_i x_i \right)$$

Fonction d'activation (seuil)

Posons $x' = h(X, W)$

$$y = g_s(x') = g_s \left(\sum_{i=1}^n w_i x_i \right)$$

où g_s est la fonction de Heaviside, et s le seuil.

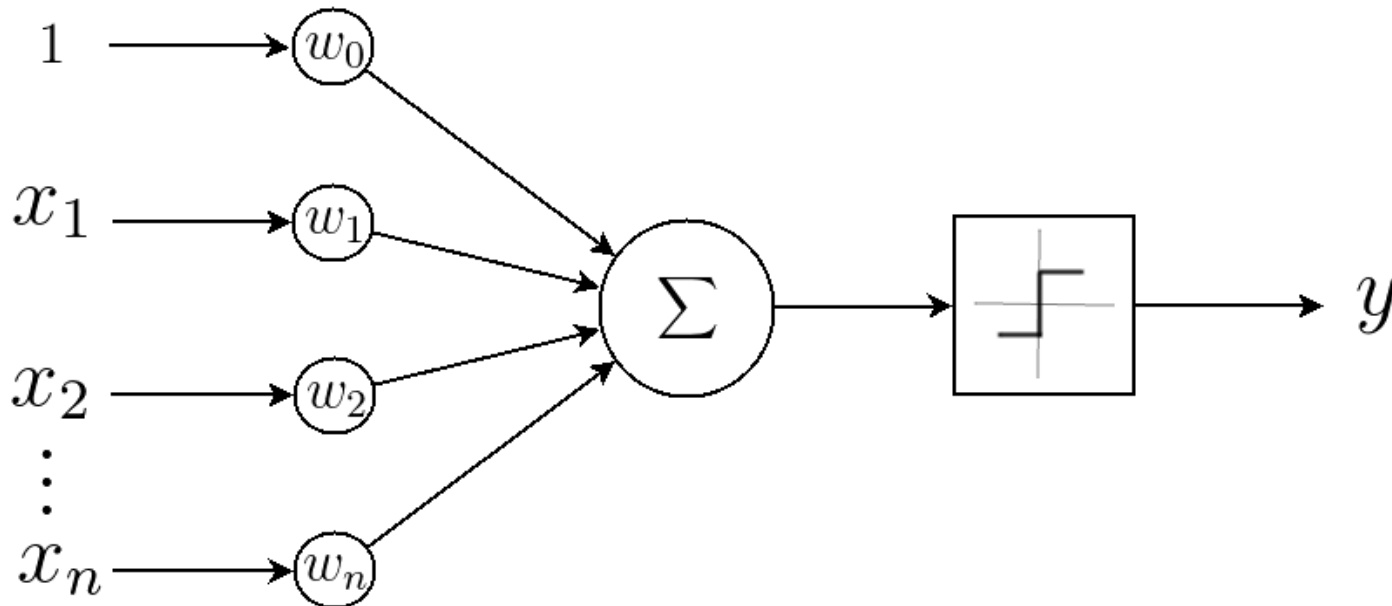


Fonction d'activation (seuil)

$$g_s(x') = g_0 \left(\sum_{i=1}^n w_i x_i + s \right)$$

En posant $w_0 = s$ et $x_0 = 1$

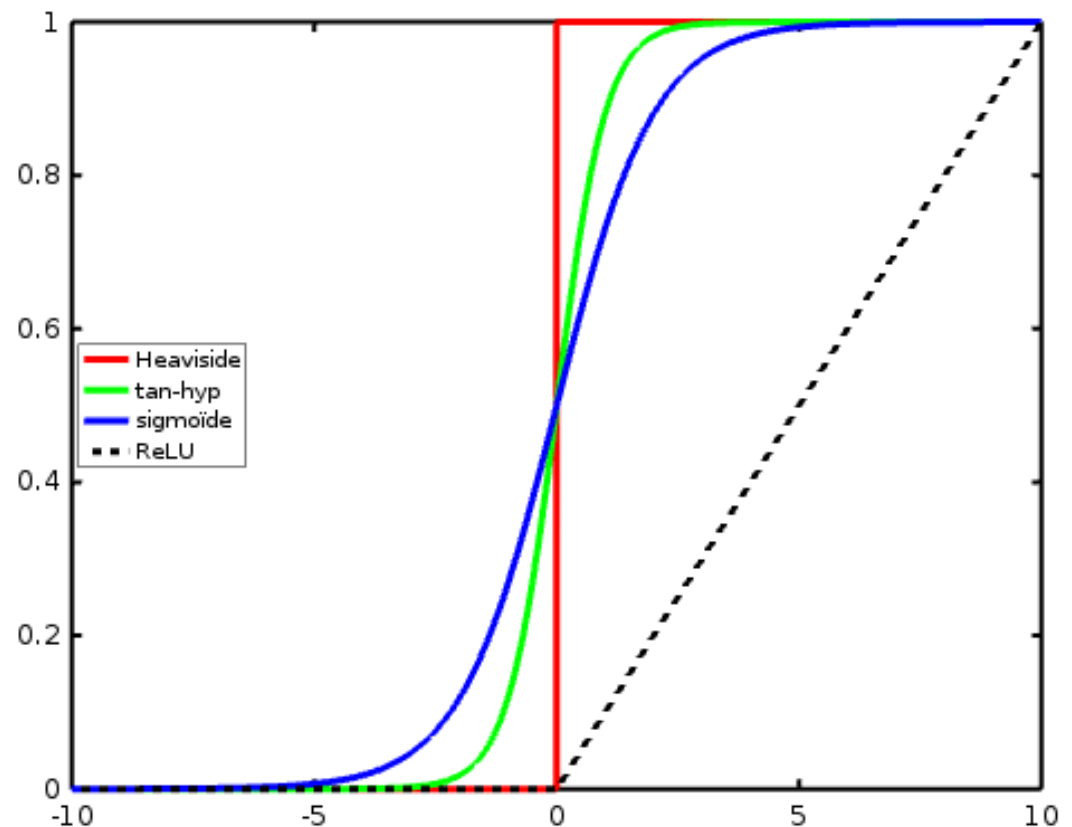
$$g_s(x') = g_0 \left(\sum_{i=0}^n w_i x_i \right)$$



Fonction d'activation

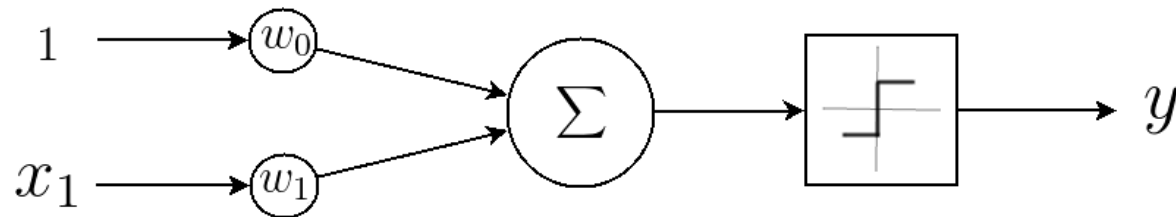
Les fonctions suivantes peuvent être utilisées comme fonction d'activation resp. par ordre de recommandation :

1. La fonction de Heaviside
2. La tangente hyperbolique
3. La fonction sigmoïde
4. La fonction rectifieur
ReLU $\max(0, x)$

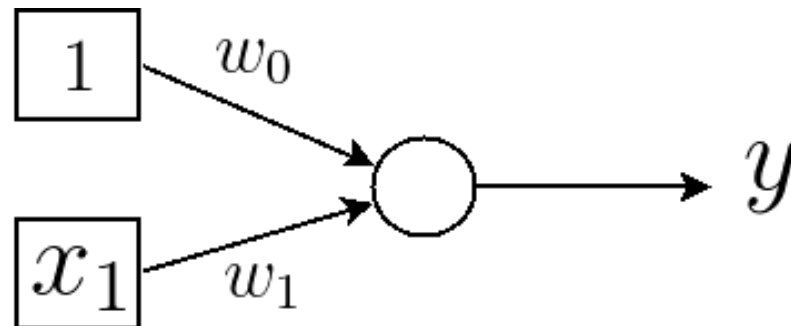


Représentation d'un neurone en théorie des graphes

- Nous utiliserons à partir de ce slide la nouvelle représentation du neurone
- La représentation :

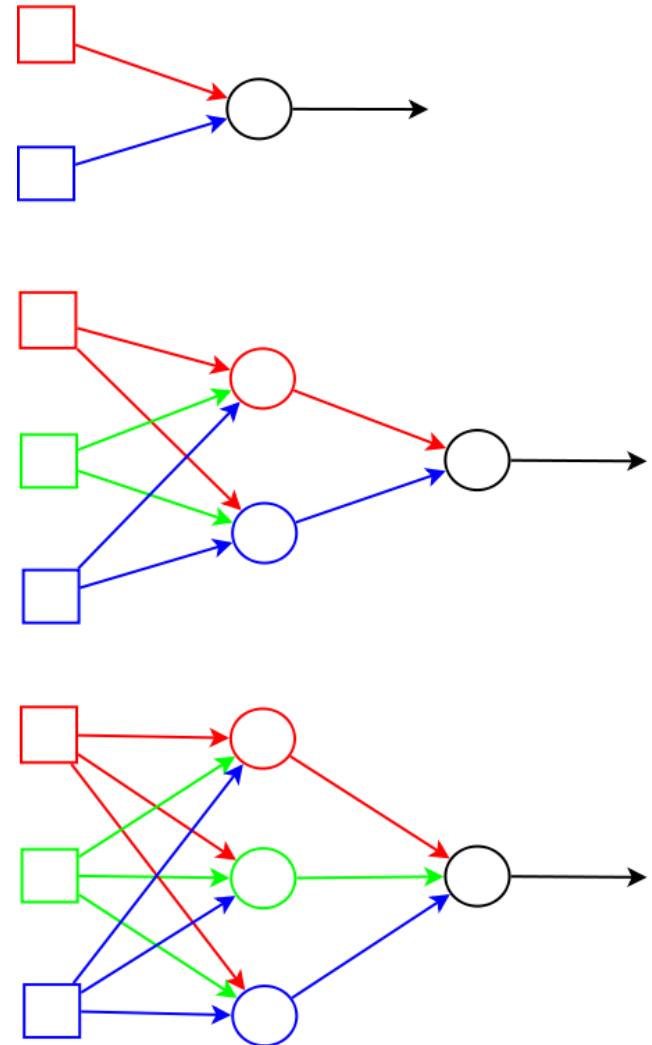


- Devient :



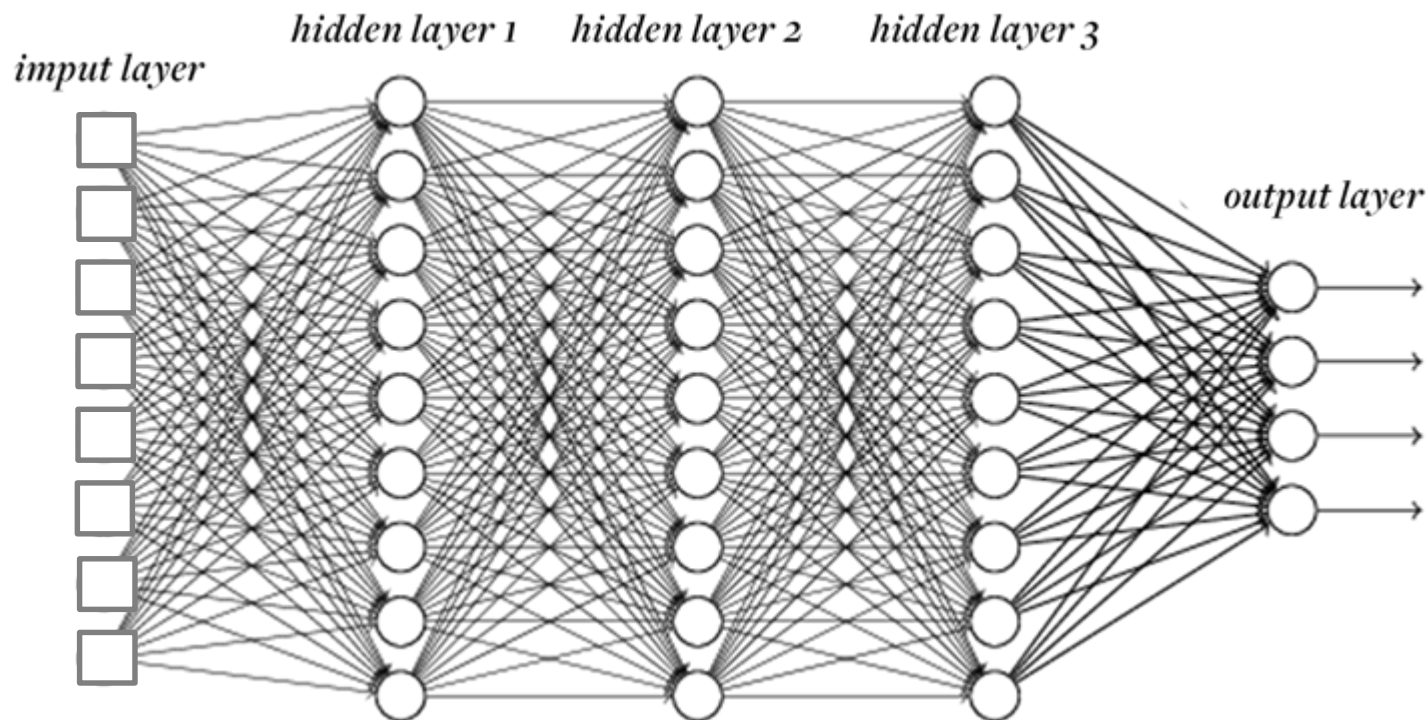
Perceptron multi-couches

- Perceptron simple
 - Régression linéaire
 - Moindres carrés
- Perceptrons multi-couches
 - Résolution de problèmes non linéaires
 - Généralisable en réseaux de neurones à multi-couches

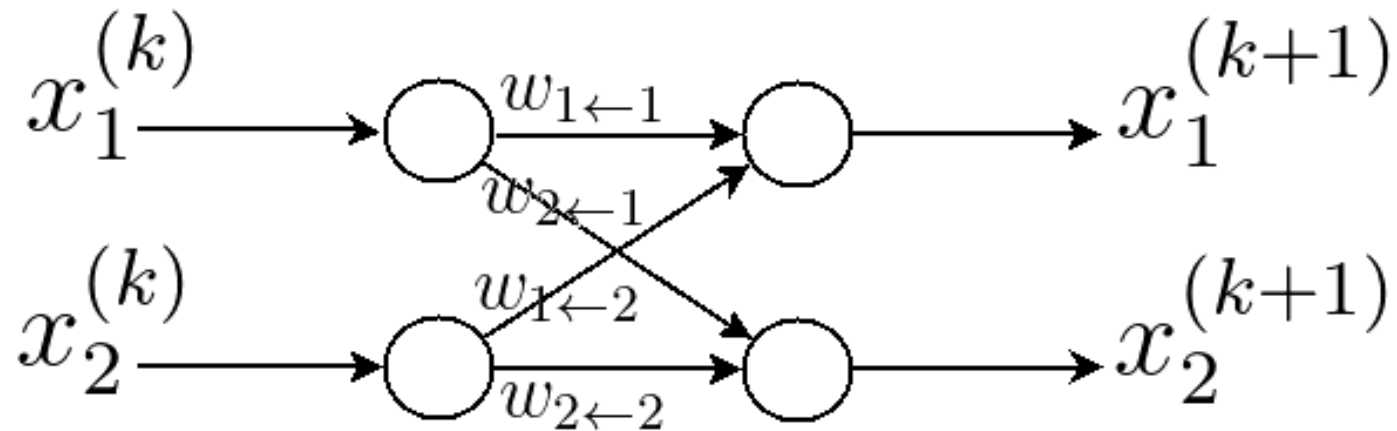


Modèle de réseaux de neurones à multi-couches

- Exemple relativement généralisé des graphes de réseaux de neurones à multi-couches

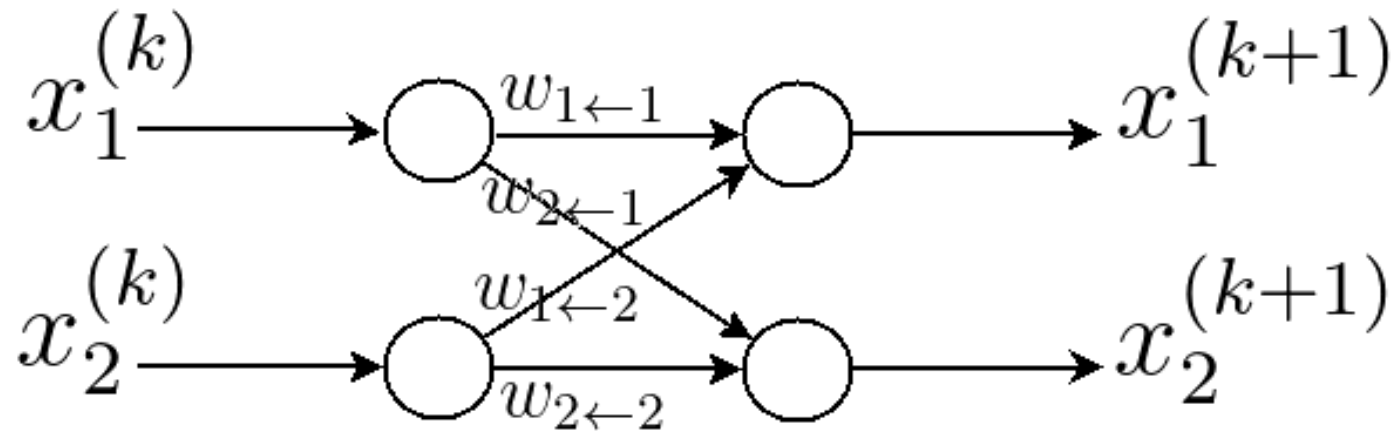


Propagation dans un réseau de neurones



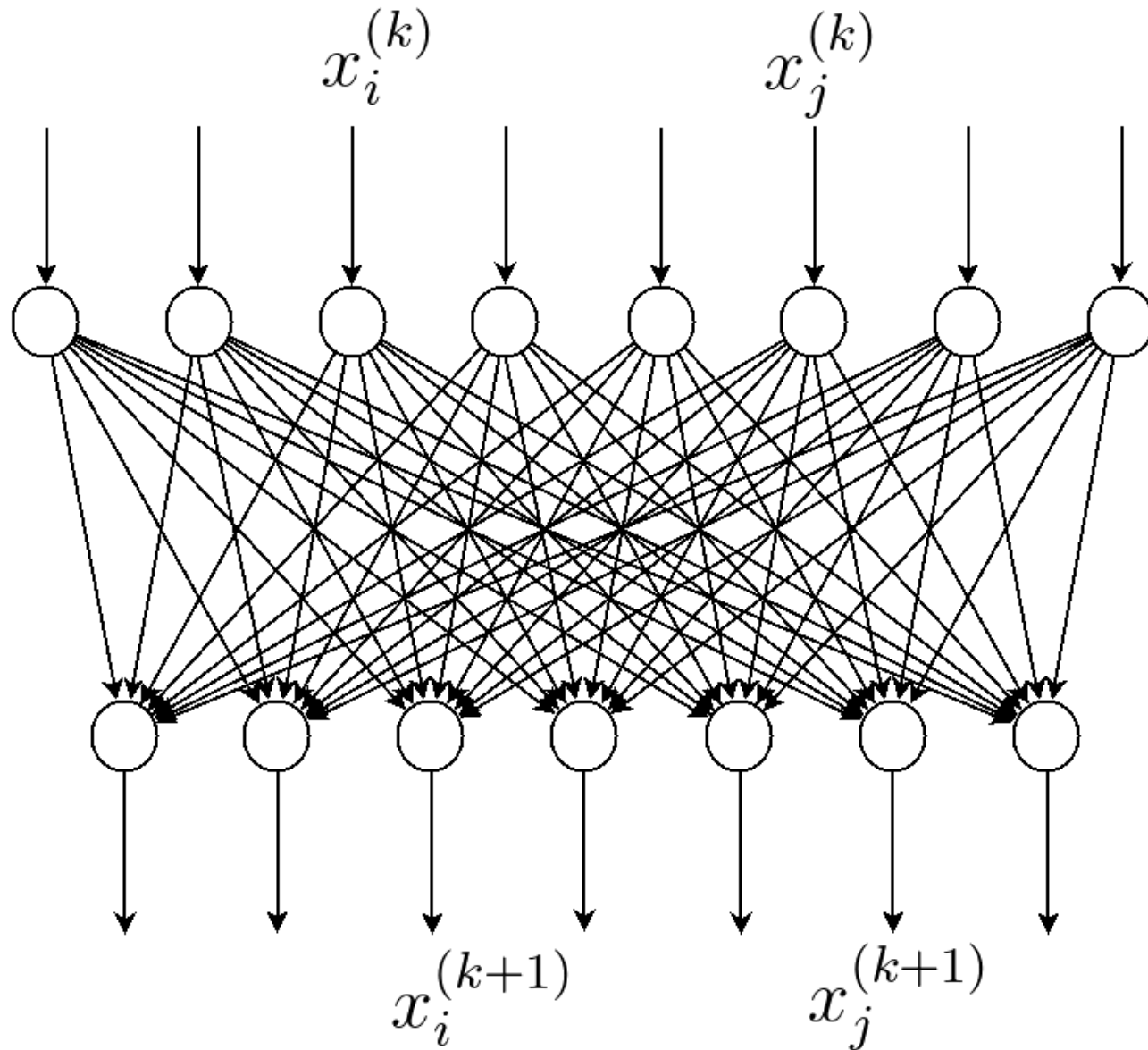
$$\begin{pmatrix} x_1^{(k+1)} \\ x_2^{(k+1)} \end{pmatrix} = g \left(\begin{pmatrix} \sum_{j=1}^2 w_{1 \leftarrow j} x_j^{(k)} \\ \sum_{j=1}^2 w_{2 \leftarrow j} x_j^{(k)} \end{pmatrix} \right)$$

Propagation dans un réseau de neurones

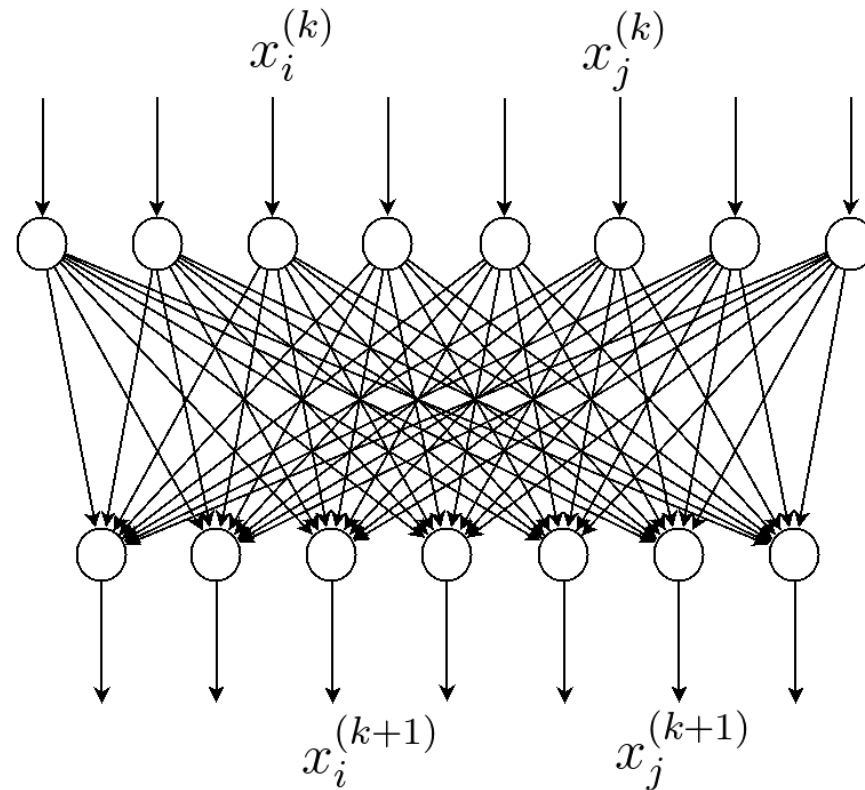


$$\begin{pmatrix} x_1^{(k+1)} \\ x_2^{(k+1)} \end{pmatrix} = g \left(\begin{pmatrix} \sum_{j=1}^2 w_{1\leftarrow j} x_j^{(k)} \\ \sum_{j=1}^2 w_{2\leftarrow j} x_j^{(k)} \end{pmatrix} \right) \\ = g \left(\begin{pmatrix} w_{1\leftarrow 1} & w_{1\leftarrow 2} \\ w_{2\leftarrow 1} & w_{2\leftarrow 2} \end{pmatrix} \begin{pmatrix} x_1^{(k)} \\ x_2^{(k)} \end{pmatrix} \right)$$

Propagation dans un réseau de neurones



Propagation dans un réseau de neurones



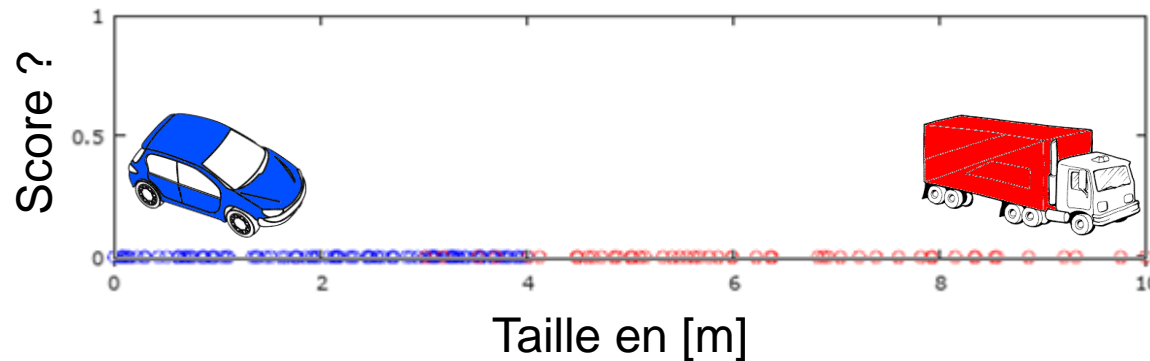
$$\begin{pmatrix} \vdots \\ x_i^{(k+1)} \\ \vdots \\ x_j^{(k+1)} \\ \vdots \end{pmatrix} = g \left(\begin{pmatrix} \vdots \\ w_{i \leftarrow i} & \dots & w_{i \leftarrow j} & \dots \\ \vdots & \vdots & \ddots & \dots & \dots \\ \vdots & w_{j \leftarrow i} & \vdots & w_{j \leftarrow j} & \dots \\ \vdots & \vdots & \vdots & \vdots & \ddots \end{pmatrix} \begin{pmatrix} \vdots \\ x_i^{(k)} \\ \vdots \\ x_j^{(k)} \\ \vdots \end{pmatrix} \right)$$

Apprentissage et reconnaissance

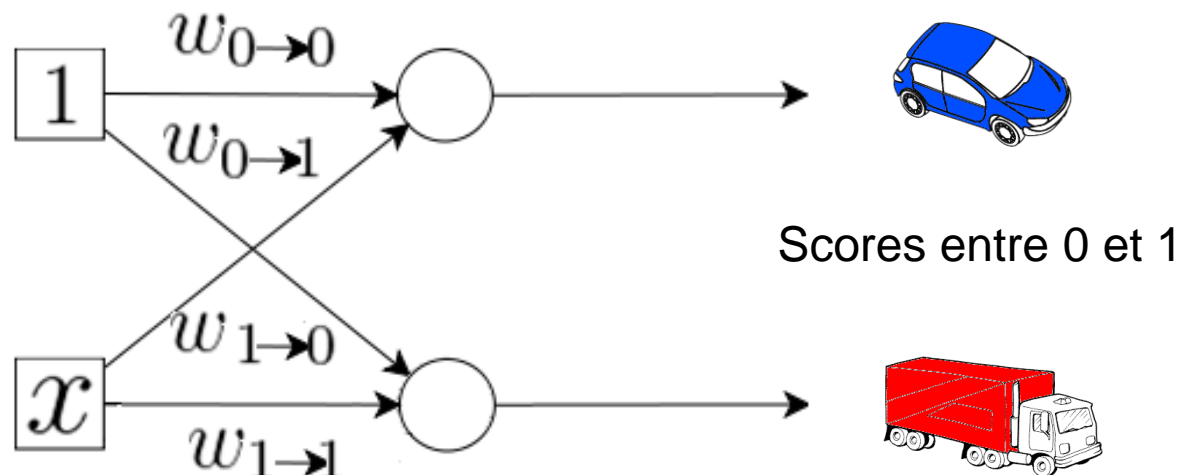
- Phase d'apprentissage supervisé
 - **Pré-requis : base de données indexés par types dite base d'apprentissage**
 - Propagation de de la donnée d'entrée
 - Comparé la donnée de sortie avec le résultat attendu
 - Rétro-propagation de l'erreur pour la correction de poids synaptiques
- Phase de validation (validation de la reconnaissance)
 - **Pré-requis : une base de données différente de la base d'apprentissage dite base de tests**
 - Evaluer l'efficience = nombre d'erreurs / nombre de tests
 - Si le pourcentage est bas. refaire l'apprentissage.

Exemple avec une couche

- Prenons l'exemple suivant

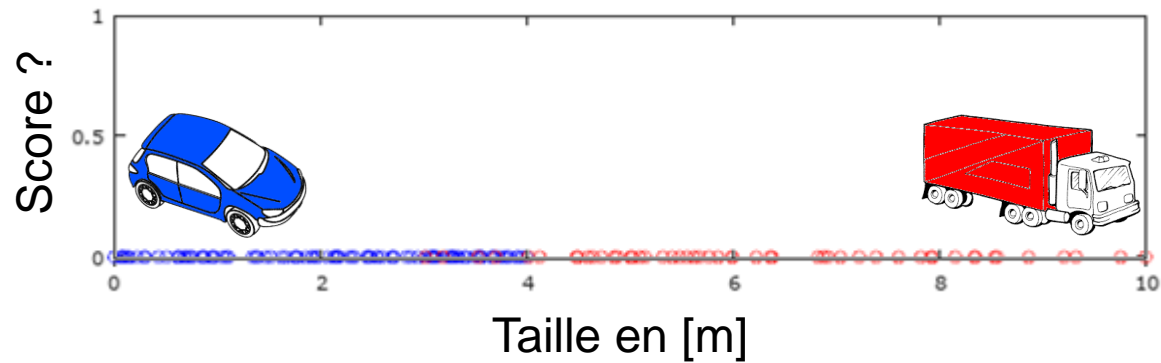


- On modélise de réseau de neurones suivant

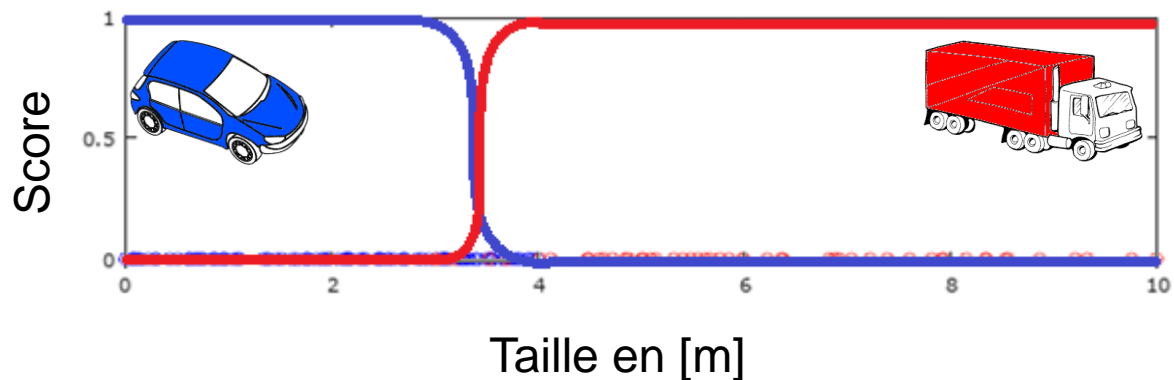


Exemple avec une couche

- Prenons l'exemple suivant



- On obtient les sigmoïdes suivantes



Un peu d'histoire

- 1940 : La machine de Turing
- 1943 : Le neurone formel (McCulloch & Pitts)
- 1948 : Les réseaux d'automates (Von Neuman)
- 1949 : Première règle d'apprentissage (Hebb)
- 1958-62 : Le perceptron (Rosenblatt)
- 1960 : L'adaline (Widrow & Hoff)
- 1969 : *Perceptrons* (Minsky & Papert)
 - ➔ les limites du Perceptron
 - ➔ besoin d'architectures + complexes,

Comment effectuer l'apprentissage ? On ne sait pas !
- 1974 : Rétropropagation (Werbos)
 - ➔ pas de succès !?!?
- 1986 : Rétropropagation (Rumelhart & McClelland)
- 1990 : « Société de l'Information »
 - ➔ nouvelles applications
 - recherche/filtrage d'information dans le Web
 - extraction d'information / veille technologique
 - multimedia (indexation, ...)
 - data mining

Un peu d'histoire

- Ensuite, le Deep-Learning est arrivé

2012 Teams	%error	2013 Teams	%error	2014 Teams	%error
Supervision (Toronto)	15.3	Clarifai (NYU spinoff)	11.7	GoogLeNet	6.6
ISI (Tokyo)	26.1	NUS (singapore)	12.9	VGG (Oxford)	7.3
VGG (Oxford)	26.9	Zeiler-Fergus (NYU)	13.5	MSRA	8.0
XRCE/INRIA	27.0	A. Howard	13.5	A. Howard	8.1
UvA (Amsterdam)	29.6	OverFeat (NYU)	14.1	DeeperVision	9.5
INRIA/LEAR	33.4	UvA (Amsterdam)	14.2	NUS-BST	9.7
		Adobe	15.2	TTIC-ECP	10.2
		VGG (Oxford)	15.2	XYZ	11.2
		VGG (Oxford)	23.0	UvA	12.1

Concours ImageNet 2012-2014

Rétro-propagation (exemple de fonction coût)

- Fonction coût qu'on souhaite minimiser pour un perceptron à m couches :

$$J^{(m)} = \frac{1}{2} \sum_{i=0}^{n^{(m)}} (x_i^{(m)} - y_i)^2$$

- Résolution par une méthode de descente :

$$w_{ij} \leftarrow w_{ij} - \eta \frac{\partial J}{\partial w_{ij}}$$

Rétro-propagation de la dernière couche

$$\frac{\partial J}{\partial w_{ij}^{(m)}} = \frac{\partial J}{\partial x_i^{(m)}} \frac{\partial x_i^{(m)}}{\partial w_{ij}^{(m)}}$$

Rétro-propagation de la dernière couche

$$\frac{\partial J}{\partial w_{ij}^{(m)}} = \frac{\partial J}{\partial x_i^{(m)}} \frac{\partial x_i^{(m)}}{\partial w_{ij}^{(m)}}$$

$$\frac{\partial J}{\partial w_{ij}^{(m)}} = \frac{\partial J}{\partial x_i^{(m)}} \frac{\partial x_i^{(m)}}{\partial a_i^{(m)}} \frac{\partial a_i^{(m)}}{\partial w_{ij}^{(m)}}$$

avec $a_i^{(m)} = \sum_{k=0}^{n^{(m-1)}} w_{ik} x_k^{(m-1)}$

Rétro-propagation de la dernière couche

$$\frac{\partial J}{\partial w_{ij}^{(m)}} = \frac{\partial J}{\partial x_i^{(m)}} \frac{\partial x_i^{(m)}}{\partial w_{ij}^{(m)}}$$

$$\frac{\partial J}{\partial w_{ij}^{(m)}} = \frac{\partial J}{\partial x_i^{(m)}} \frac{\partial x_i^{(m)}}{\partial a_i^{(m)}} \frac{\partial a_i^{(m)}}{\partial w_{ij}^{(m)}}$$

avec $a_i^{(m)} = \sum_{k=0}^{n^{(m-1)}} w_{ik} x_k^{(m-1)}$

$$\frac{\partial J}{\partial x_i^{(m)}} = \frac{\partial J^{(m)}}{\partial x_i^{(m)}}$$

$$(x_i^{(m)} - y_i)$$

$$J^{(m)} = \frac{1}{2} \sum_{i=0}^{n^{(m)}} (x_i^{(m)} - y_i)^2$$

Rétro-propagation de la dernière couche

$$\frac{\partial J}{\partial w_{ij}^{(m)}} = \frac{\partial J}{\partial x_i^{(m)}} \frac{\partial x_i^{(m)}}{\partial w_{ij}^{(m)}}$$

$$\frac{\partial J}{\partial w_{ij}^{(m)}} = \frac{\partial J}{\partial x_i^{(m)}} \frac{\partial x_i^{(m)}}{\partial a_i^{(m)}} \frac{\partial a_i^{(m)}}{\partial w_{ij}^{(m)}}$$

avec $a_i^{(m)} = \sum_{k=0}^{n^{(m-1)}} w_{ik} x_k^{(m-1)}$

$$\frac{\partial J}{\partial x_i^{(m)}} = \frac{\partial J^{(m)}}{\partial x_i^{(m)}}$$

$$(x_i^{(m)} - y_i)$$

Rétro-propagation de la dernière couche

$$\frac{\partial J}{\partial w_{ij}^{(m)}} = \frac{\partial J}{\partial x_i^{(m)}} \frac{\partial x_i^{(m)}}{\partial w_{ij}^{(m)}}$$

$$\frac{\partial J}{\partial w_{ij}^{(m)}} = \frac{\partial J}{\partial x_i^{(m)}} \frac{\partial x_i^{(m)}}{\partial a_i^{(m)}} \frac{\partial a_i^{(m)}}{\partial w_{ij}^{(m)}} \quad \text{avec} \quad a_i^{(m)} = \sum_{k=0}^{n^{(m-1)}} w_{ik} x_k^{(m-1)}$$

$$\frac{\partial J}{\partial x_i^{(m)}} = \frac{\partial J^{(m)}}{\partial x_i^{(m)}}$$

$$(x_i^{(m)} - y_i)$$

$$x_i^{(m)} = g(a_i^{(m)})$$

$$g'(a_i^{(m)})$$

Rétro-propagation de la dernière couche

$$\frac{\partial J}{\partial w_{ij}^{(m)}} = \frac{\partial J}{\partial x_i^{(m)}} \frac{\partial x_i^{(m)}}{\partial w_{ij}^{(m)}}$$

$$\frac{\partial J}{\partial w_{ij}^{(m)}} = \frac{\partial J}{\partial x_i^{(m)}} \frac{\partial x_i^{(m)}}{\partial a_i^{(m)}} \frac{\partial a_i^{(m)}}{\partial w_{ij}^{(m)}} \quad \text{avec} \quad a_i^{(m)} = \sum_{k=0}^{n^{(m-1)}} w_{ik} x_k^{(m-1)}$$

The diagram illustrates the backpropagation of gradients through the last layer of a neural network. The main equation is decomposed into three parts, each represented by a box and connected by arrows:

- The first part, $\frac{\partial J}{\partial x_i^{(m)}} = \frac{\partial J^{(m)}}{\partial x_i^{(m)}}$, is boxed as $(x_i^{(m)} - y_i)$, representing the error at the output node.
- The second part, $x_i^{(m)} = g(a_i^{(m)})$, is boxed as $g'(a_i^{(m)})$, representing the derivative of the activation function.
- The third part, $a_i^{(m)} = \sum_{k=0}^{n^{(m-1)}} w_{ik} x_k^{(m-1)}$, is boxed as $x_j^{(m-1)}$, representing the input from the previous layer.

Rétro-propagation de la dernière couche

$$\frac{\partial J}{\partial w_{ij}^{(m)}} = \frac{\partial J}{\partial x_i^{(m)}} \frac{\partial x_i^{(m)}}{\partial w_{ij}^{(m)}}$$

$$\frac{\partial J}{\partial w_{ij}^{(m)}} = \frac{\partial J}{\partial x_i^{(m)}} \frac{\partial x_i^{(m)}}{\partial a_i^{(m)}} \frac{\partial a_i^{(m)}}{\partial w_{ij}^{(m)}} \quad \text{avec} \quad a_i^{(m)} = \sum_{k=0}^{n^{(m-1)}} w_{ik} x_k^{(m-1)}$$

Diagram illustrating the backpropagation of gradients through the last layer:

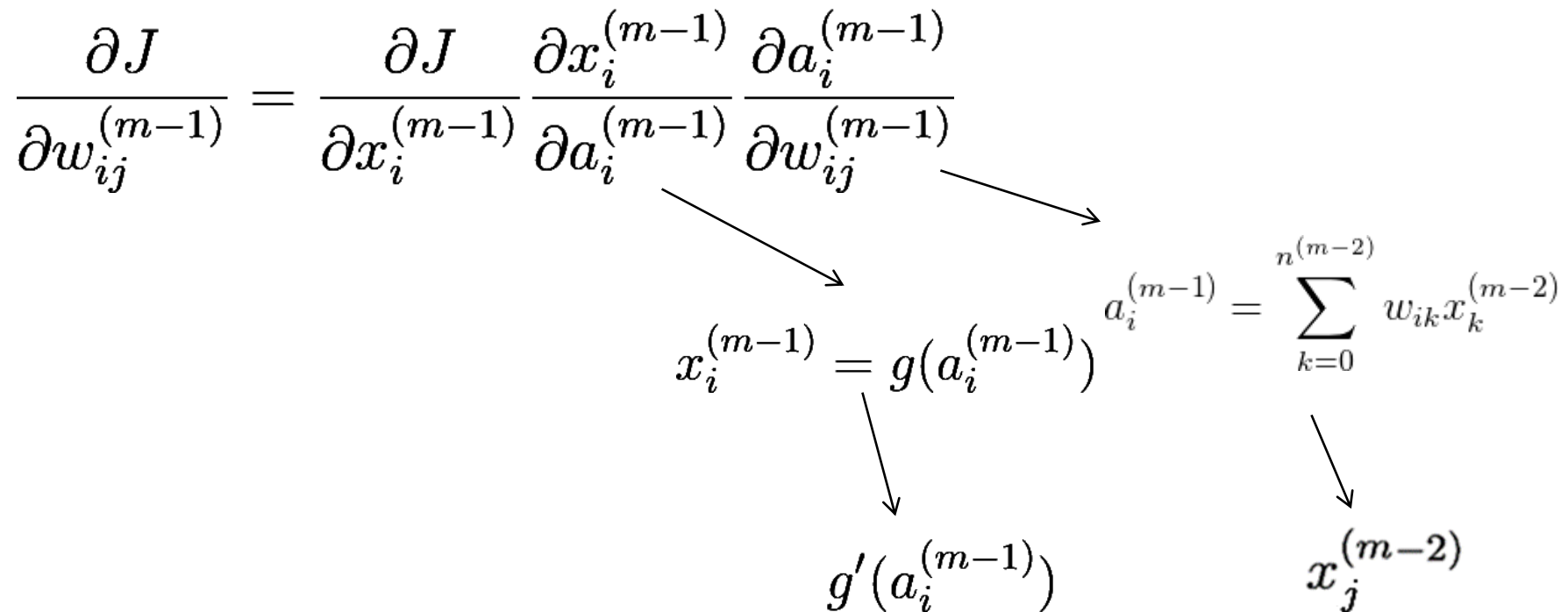
- The term $\frac{\partial J}{\partial x_i^{(m)}}$ is associated with the error $(x_i^{(m)} - y_i)$.
- The term $\frac{\partial x_i^{(m)}}{\partial a_i^{(m)}}$ is associated with the activation function $x_i^{(m)} = g(a_i^{(m)})$ and its derivative $g'(a_i^{(m)})$.
- The term $\frac{\partial a_i^{(m)}}{\partial w_{ij}^{(m)}}$ is associated with the input $x_j^{(m-1)}$.

$$\frac{\partial J}{\partial w_{ij}^{(m)}} = (x_i^{(m)} - y_i) g'(a_i^{(m)}) x_j^{(m-1)}$$

Rétro-propagation de l'avant dernière couche

$$\frac{\partial J}{\partial w_{ij}^{(m-1)}} = \frac{\partial J}{\partial x_i^{(m-1)}} \frac{\partial x_i^{(m-1)}}{\partial a_i^{(m-1)}} \frac{\partial a_i^{(m-1)}}{\partial w_{ij}^{(m-1)}}$$

Rétro-propagation de l'avant dernière couche

$$\frac{\partial J}{\partial w_{ij}^{(m-1)}} = \frac{\partial J}{\partial x_i^{(m-1)}} \frac{\partial x_i^{(m-1)}}{\partial a_i^{(m-1)}} \frac{\partial a_i^{(m-1)}}{\partial w_{ij}^{(m-1)}}$$


The diagram illustrates the backpropagation of gradients through the second-to-last layer of a neural network. The main equation shows the chain rule for the derivative of the loss J with respect to the weight $w_{ij}^{(m-1)}$. The gradient flows from the weight to the input $x_i^{(m-1)}$ and the derivative of the activation function $g'(a_i^{(m-1)})$. Additionally, the gradient flows from the weight to the weighted sum $a_i^{(m-1)} = \sum_{k=0}^{n^{(m-2)}} w_{ik} x_k^{(m-2)}$, which then flows to the input $x_j^{(m-2)}$.

Rétro-propagation de l'avant dernière couche

$$\begin{aligned}
 \frac{\partial J}{\partial w_{ij}^{(m-1)}} &= \frac{\partial J}{\partial x_i^{(m-1)}} \frac{\partial x_i^{(m-1)}}{\partial a_i^{(m-1)}} \frac{\partial a_i^{(m-1)}}{\partial w_{ij}^{(m-1)}} \\
 &\quad \swarrow \quad \searrow \quad \searrow \\
 \frac{\partial J}{\partial x_i^{(m-1)}} &= \sum_{i=0}^{n^{(m)}} \frac{\partial J}{\partial a_i^{(m)}} \frac{\partial a_i^{(m)}}{\partial x_i^{(m-1)}} & x_i^{(m-1)} &= g(a_i^{(m-1)}) & a_i^{(m-1)} &= \sum_{k=0}^{n^{(m-2)}} w_{ik} x_k^{(m-2)} \\
 & & \searrow & & \searrow \\
 & & g'(a_i^{(m-1)}) & & x_j^{(m-2)}
 \end{aligned}$$

Rétro-propagation de l'avant dernière couche

$$\begin{aligned}
 \frac{\partial J}{\partial w_{ij}^{(m-1)}} &= \frac{\partial J}{\partial x_i^{(m-1)}} \frac{\partial x_i^{(m-1)}}{\partial a_i^{(m-1)}} \frac{\partial a_i^{(m-1)}}{\partial w_{ij}^{(m-1)}} \\
 &\quad \swarrow \quad \searrow \quad \searrow \\
 \frac{\partial J}{\partial x_i^{(m-1)}} &= \sum_{i=0}^{n^{(m)}} \frac{\partial J}{\partial a_i^{(m)}} \frac{\partial a_i^{(m)}}{\partial x_i^{(m-1)}} & x_i^{(m-1)} &= g(a_i^{(m-1)}) & a_i^{(m-1)} &= \sum_{k=0}^{n^{(m-2)}} w_{ik} x_k^{(m-2)} \\
 &\quad \downarrow & \searrow & & \downarrow \\
 \frac{\partial J}{\partial x_i^{(m-1)}} &= \sum_{i=0}^{n^{(m)}} \frac{\partial J}{\partial a_i^{(m)}} w_{ij}^{(m)} & g'(a_i^{(m-1)}) & & x_j^{(m-2)}
 \end{aligned}$$

Rétro-propagation de l'avant dernière couche

$$\begin{aligned}
 \frac{\partial J}{\partial w_{ij}^{(m-1)}} &= \frac{\partial J}{\partial x_i^{(m-1)}} \frac{\partial x_i^{(m-1)}}{\partial a_i^{(m-1)}} \frac{\partial a_i^{(m-1)}}{\partial w_{ij}^{(m-1)}} \\
 &\quad \swarrow \quad \searrow \quad \searrow \\
 \frac{\partial J}{\partial x_i^{(m-1)}} &= \sum_{i=0}^{n^{(m)}} \frac{\partial J}{\partial a_i^{(m)}} \frac{\partial a_i^{(m)}}{\partial x_i^{(m-1)}} & x_i^{(m-1)} &= g(a_i^{(m-1)}) & a_i^{(m-1)} &= \sum_{k=0}^{n^{(m-2)}} w_{ik} x_k^{(m-2)} \\
 &\quad \downarrow & \searrow & & \downarrow \\
 \frac{\partial J}{\partial x_i^{(m-1)}} &= \sum_{i=0}^{n^{(m)}} \frac{\partial J}{\partial a_i^{(m)}} w_{ij}^{(m)} & g'(a_i^{(m-1)}) & & x_j^{(m-2)}
 \end{aligned}$$

$$\frac{\partial J}{\partial w_{ij}^{(m-1)}} = \left(\sum_{i=0}^{n^{(m)}} \frac{\partial J}{\partial a_i^{(m)}} w_{ij}^{(m)} \right) g'(a_i^{(m-1)}) x_j^{(m-2)}$$

Rétro-propagation de l'avant dernière couche

$$\frac{\partial J}{\partial w_{ij}^{(m-1)}} = \frac{\partial J}{\partial x_i^{(m-1)}} \frac{\partial x_i^{(m-1)}}{\partial a_i^{(m-1)}} \frac{\partial a_i^{(m-1)}}{\partial w_{ij}^{(m-1)}}$$

$\frac{\partial J}{\partial x_i^{(m-1)}} = \sum_{i=0}^{n^{(m)}} \frac{\partial J}{\partial a_i^{(m)}} \frac{\partial a_i^{(m)}}{\partial x_i^{(m-1)}}$
 \downarrow
 $\frac{\partial J}{\partial x_i^{(m-1)}} = \sum_{i=0}^{n^{(m)}} \frac{\partial J}{\partial a_i^{(m)}} w_{ij}^{(m)}$

$x_i^{(m-1)} = g(a_i^{(m-1)})$
 \downarrow
 $g'(a_i^{(m-1)})$

$a_i^{(m-1)} = \sum_{k=0}^{n^{(m-2)}} w_{ik} x_k^{(m-2)}$
 \downarrow
 $x_j^{(m-2)}$

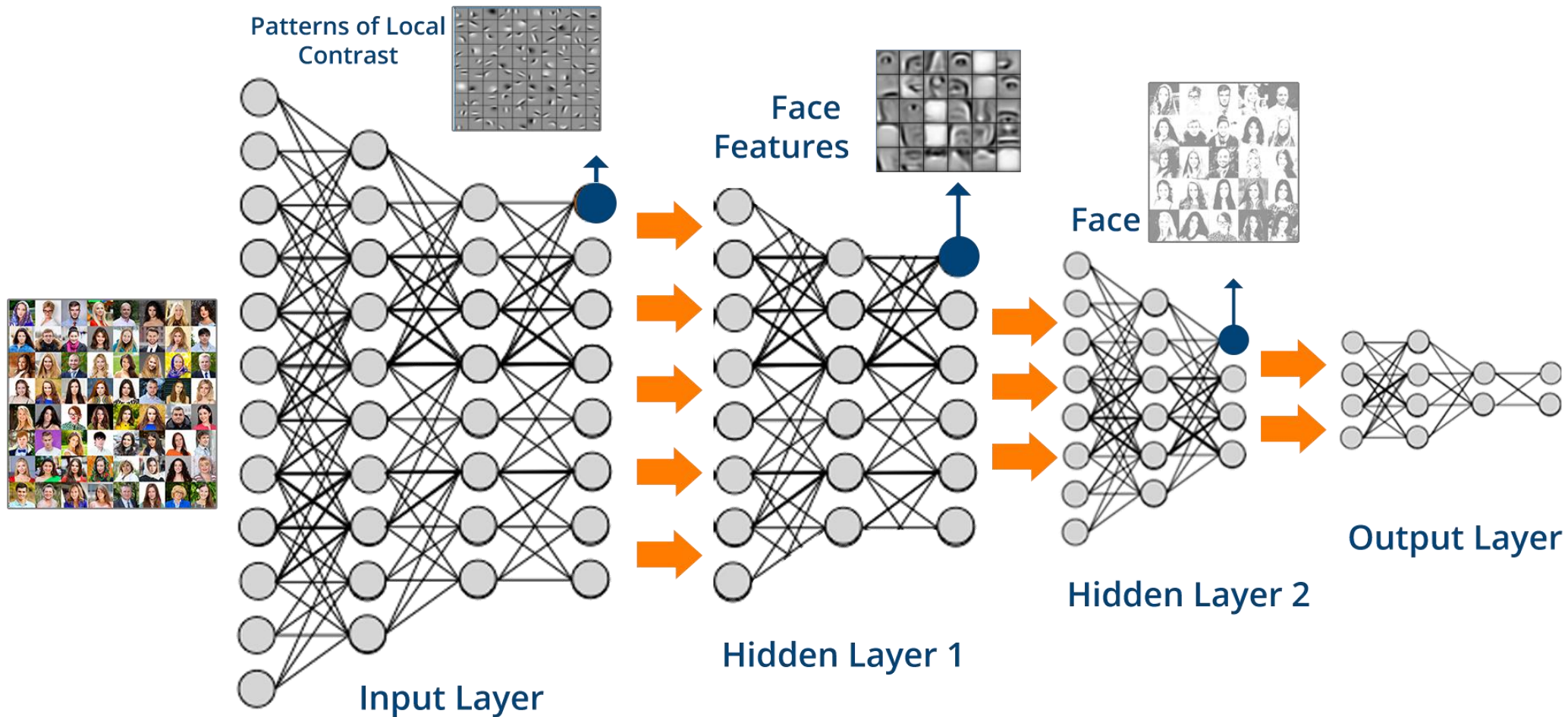
Déduire ?

$$\frac{\partial J}{\partial w_{ij}^{(m-1)}} = \left(\sum_{i=0}^{n^{(m)}} \frac{\partial J}{\partial a_i^{(m)}} w_{ij}^{(m)} \right) g'(a_i^{(m-1)}) x_j^{(m-2)}$$



Les réseaux de neurones dans le traitement d'images -Apprentissage profond-

Apprentissage profond



Reconnaissance d'images en temps réel

- La réduction du temps de calcul dépend de :
 - La taille du réseau de neurones influe en fonction
 - Choix du modèle
 - Puissance de calcul
 - Des calculs dans l'image
 - L'intégrale image (notion provenant l'infographie) permet de calculer rapidement les caractéristiques

$$IImage(i, j) = \sum_{k=0}^i \sum_{l=0}^j Image(k, l)$$

Reconnaissance d'images en temps réel

- Utile pour calculer rapidement des moyennes
- En apprentissage profond, le calcul de moyenne est souvent utilisé

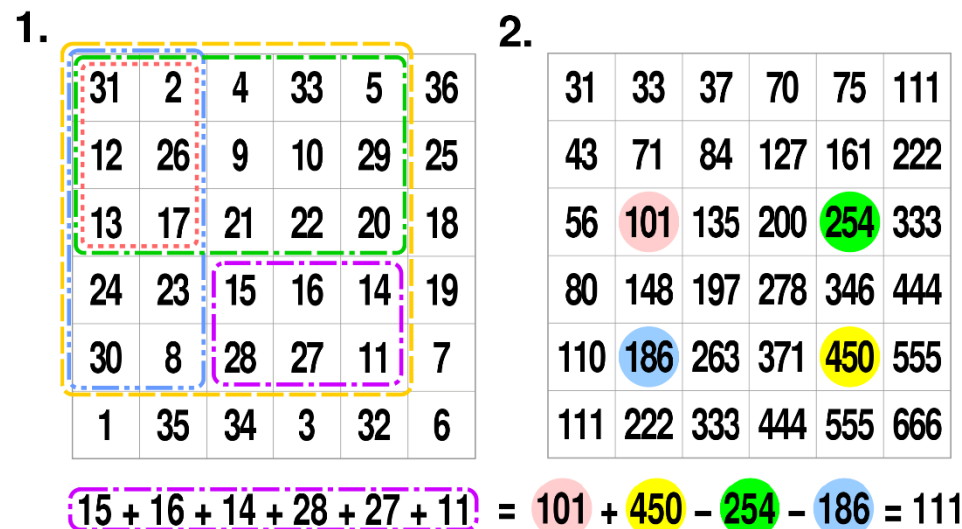


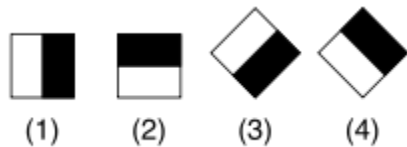
Illustration du gain de calcul avec l'intégrale image

A gauche 5 opérations, à droite 3

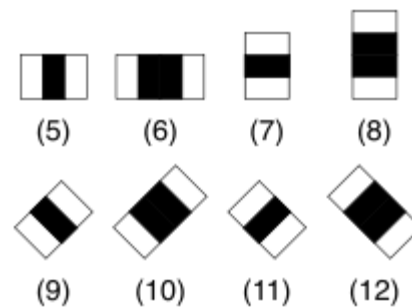
Source de l'image en.wikipedia.org Summed-area table

Utilisation de l'intégrale image dans la méthode de Viola et Jones

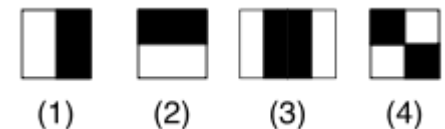
- L'intégrale image a été introduit par la méthode de Viola et Jones en 2001 pour la détection de visages. Dans cette méthode,
- La méthode utilise des caractéristiques dites pseudo-haar



Caractéristiques de
détection de bord



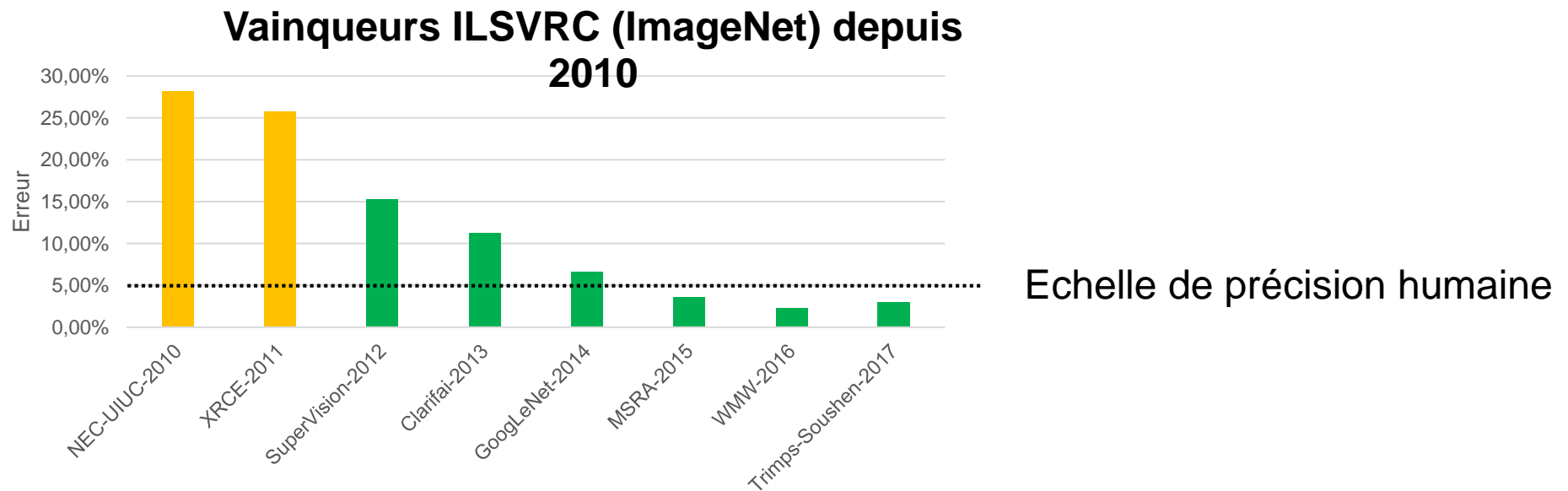
Caractéristiques de
détection de lignes



Caractéristiques
Viola et Jones pour
la détection de
visages

Utilisation des Réseaux de Neurones Convolutifs (CNN)

- Krizhevsky et al. (2012) vainqueur de "the ImageNet object recognition challenge" avec l'algorithme AlexNet du group de recherche SuperVision



Utilisation des Réseaux de Neurones Convolutifs (CNN)

- Krizhevsky et al. (2012) vainqueur de "the ImageNet object recognition challenge" avec l'algorithme AlexNet du group de recherche SuperVision

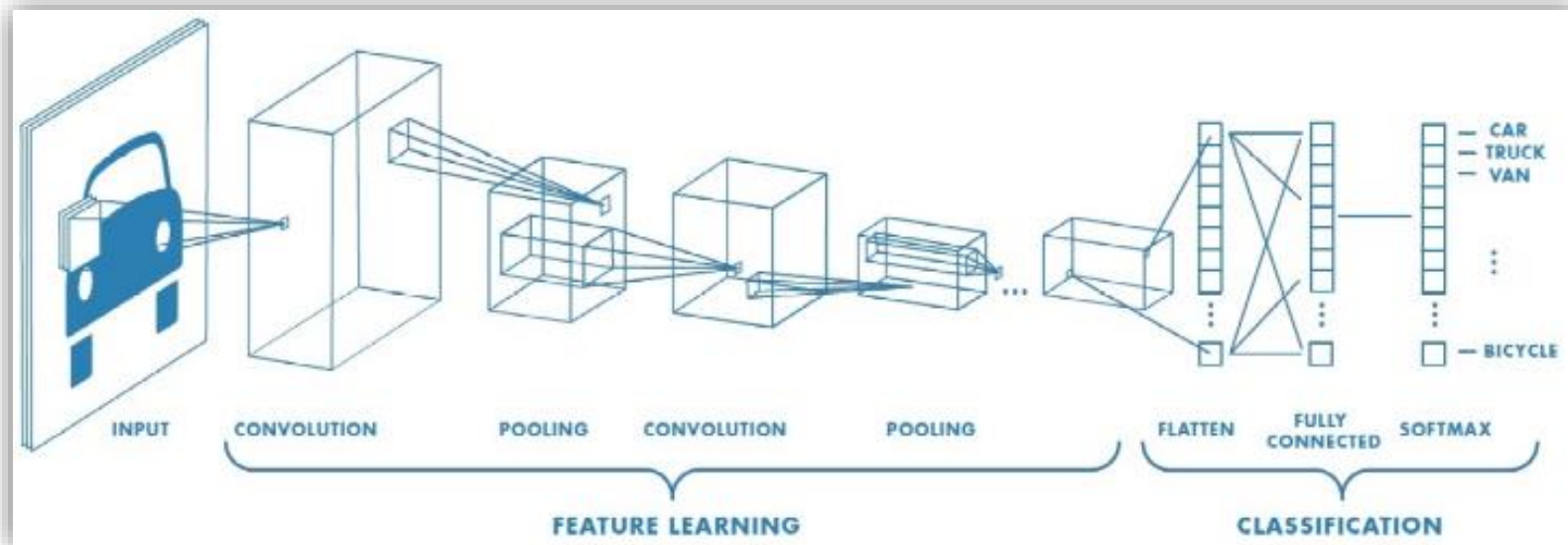
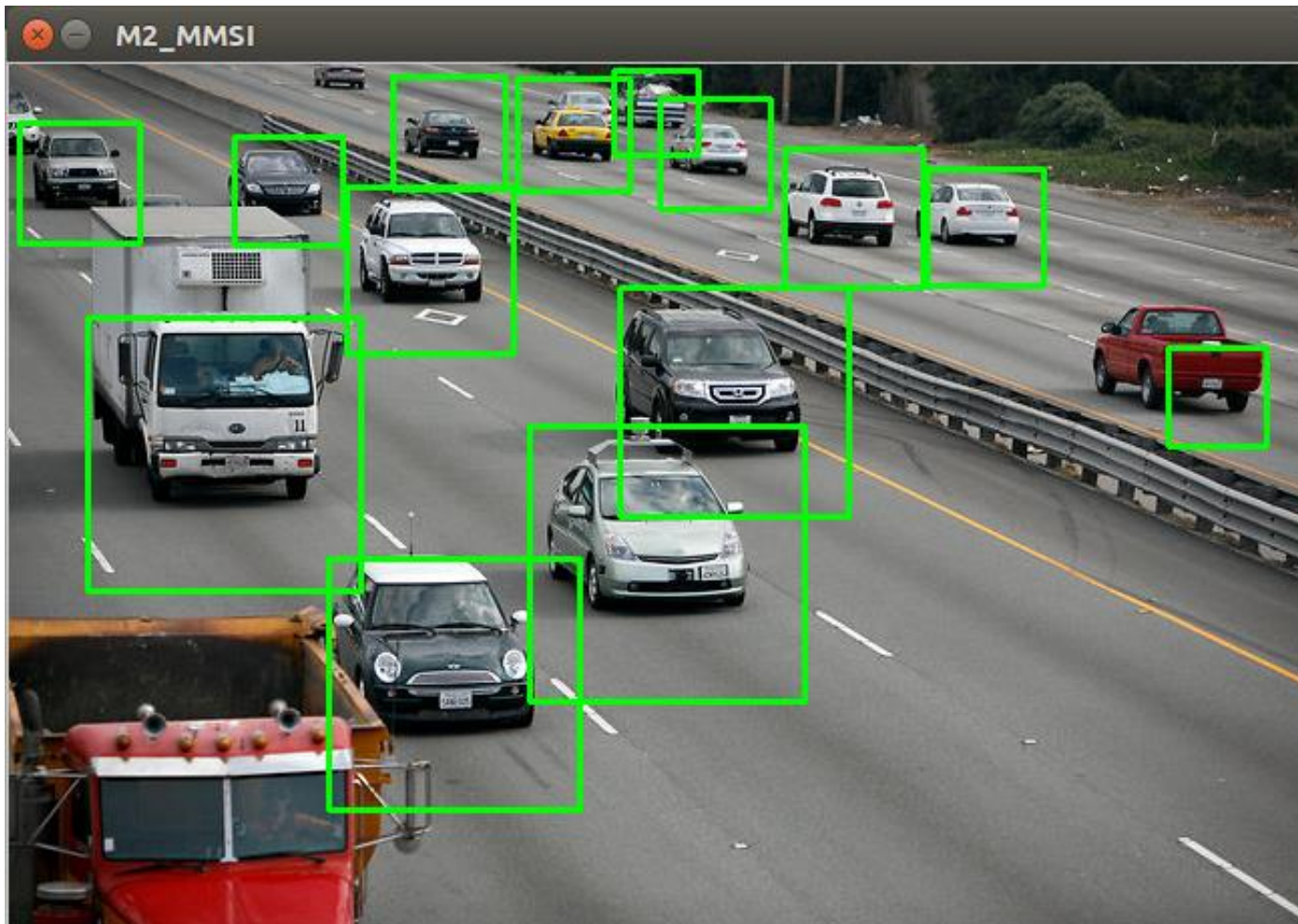


Image de : Trujillo J., Alexandra. (2018). Summarization of video from Feature Extraction Method using Image Processing and Artificial Intelligence.

TP2 détection par pseudo caractéristiques haar



Références

- Jean-Claude Heudin, "Comprendre le Deep Learning: Une introduction aux réseaux de neurones" , des éditions "Sciences-eBook", 2016.
- Olga Russakovsky*, Jia Deng*, Hao Su, Jonathan Krause, Sanjeev Satheesh, Sean Ma, Zhiheng Huang, Andrej Karpathy, Aditya Khosla, Michael Bernstein, Alexander C. Berg and Li Fei-Fei. ImageNet Large Scale Visual Recognition Challenge. *International Journal of Computer Vision*, 2015.
- L. Laporte, R. Flamary, S. Canu, S. Déjean and J. Mothe: Non-convex Regularizations for Feature Selection in Ranking with Sparse SVM, *IEEE Transactions on Neural Networks and Learning Systems*, 25(6) :1118 – 1130, 2014.
- Paul Viola et Michael Jones, « Robust Real-time Object Detection », *IJCV*, 2001